

УДК 621.002

# ИССЛЕДОВАНИЕ ДИНАМИКИ И СНИЖЕНИЕ ВИБРОАКТИВНОСТИ ТУРБОНАСОСНОГО АГРЕГАТА ПУТЕМ РЕШЕНИЯ ОБРАТНЫХ ЗАДАЧ

**А.В. Горошко, В.П. Ройзман**

Исследована динамика турбонасосного агрегата ТНА-150, имеющего повышенные вибрации ротора. Показана эффективность применения на практике постановки и решения обратных задач динамики, а также преодоления трудностей при решении таких задач.

Исследована динамика ротора ТНА на рабочих частотах и произведена параметрическая идентификация эксцентрикитетов, жесткостей, масс, приведенных к математической модели ротора. Для увеличения точности идентификации был применен статистический метод повышения устойчивости решений обратных задач.

**Ключевые слова:** вибрации, дисбаланс, турбонасосный агрегат, идентификация, обратная задача, амплитудно-частотная характеристика, балансировка

## Введение

Турбонасосные агрегаты (ТНА), содержащие скоростные роторы, широко распространены в ракетной, авиационной, химической и других отраслях техники. При эксплуатации ТНА часто возникают повышенные вибрации, вызванные дисбалансом ротора [1, 2]. Исследуемый агрегат типа ТНА-150 имел повышенные вибрации, вызванные дисбалансом ротора. Поэтому необходимо было разобраться в причинах этого, снизить вибраций, деформации ротора, напряжения и нагрузку на его подшипники.

Попытки уменьшить вибрации ротора путем снижения допустимых значений остаточных дисбалансов при выполнении низкочастотной балансировки в двух плоскостях коррекции не давали положительных результатов, увеличивая при этом сложность и стоимость технологического процесса.

## Постановка задачи

Исследуемый турбонасосный агрегат типа ТНА-150 представлен на рис. 1.

Вначале решено было поставить и решить множественную обратную задачу с формулировкой: а возможно ли вообще путем низкочастотной балансировки снизить вибрации и реакции опор до требуемого уровня, а, если да, то какими должны быть значения остаточных дисбалансов на дисках (или эксцентрикитетов).

Для этого нужно было выбрать математическую модель, записать уравнения, связывающие эксцентрикитеты с реакциями опор, в условиях отсутствия достоверных данных о жесткостях и критических оборотах ротора.

В связи с тем, что точные значения жесткостей были неизвестны, а их расчет по чертежным данным был бы весьма проблематичным и результаты сомнительными, было решено провести статические испытания ротора и экспериментально найти статические коэффициенты влияния, необходимые для расчетов.

Известно [1, 2], что, исходя только из чертежей таких сложных конструкций, расчетным путем не удается определить точное значение масс, жесткостей, коэффициентов демпфирования многосвязной системы, а постановка

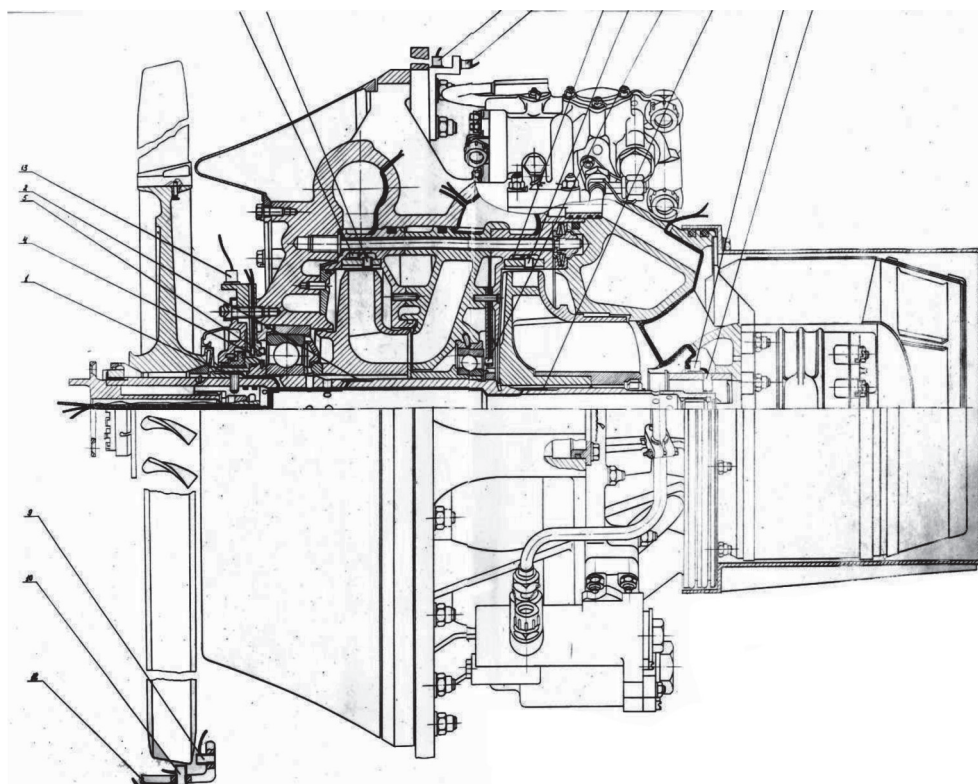


Рис. 1. Продольный разрез ТНА-150

источных значений этих параметров даже в самые разветвленные математические модели приводит к большим ошибкам.

В обратных задачах, как показано, например в работах Л.Я. Банаха, можно достичь большей точности при составлении более грубых моделей, в которые подставлены точные, приведенные к этим моделям, значения указанных выше основных параметров.

Поскольку ротор ТНА-150 состоит из двух массивных дисков компрессора и диска турбины (рис. 1), в которых сосредоточены основные массы и дисбалансы, то именно эти соображения и легли в основу выбора трехмассовой расчетной модели ТНА-150, приведенной на рис. 2. Номера дисков модели обозначены цифрами 1, 2 и 3. При этом во внимание принимались высказанные в [3] соображения об эффективности расчетной модели в зависимости от точности подставляемых в нее жесткостных, массовых и инерционных параметров ротора. Для этой трехмассовой модели и были произведены статические испытания ротора ТНА.

### **Статические испытания ротора ТНА**

Статические испытания ротора ТНА-150 для определения коэффициентов влияния проводились на испытательной машине ДМ-30М.

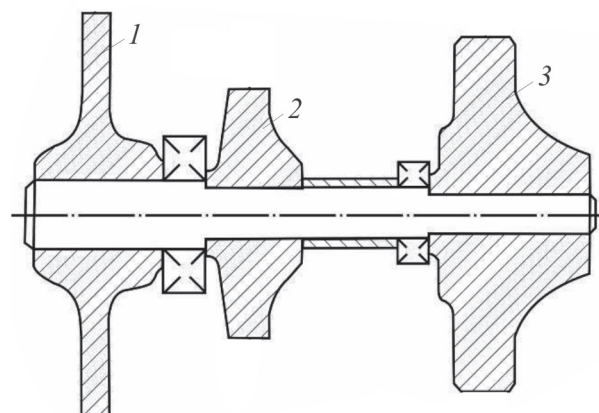


Рис. 2. Расчетная модель турбонасосного

агрегата ТНА-150:

1, 2, 3 – диски модели

Для этого на подвижный стол машины устанавливалось приспособление для крепления вала ТНА, представляющее собой балку с профрезерованным пазом в форме «ласточкиного хвоста».

Статические коэффициенты влияния, равные величине прогиба в  $i$ -м сечении от действия единичной силы в  $j$ -м сечении ( $i, j = 1, 2, 3$ ), определяли по методике, изложенной в работе [4]. Значения полученных коэффициентов влияния приведены в табл. 1.

Таблица 1

**Статические коэффициенты влияния  $\alpha_{ij}$   
ротора ТНА-150**

Номер сечения	Коэффициенты влияния, мм/Н		
	1	2	3
1	$22 \cdot 10^{-6}$	$-1,24 \cdot 10^{-6}$	$3,25 \cdot 10^{-6}$
2	$-1,6 \cdot 10^{-6}$	$2,2 \cdot 10^{-6}$	$-2,3 \cdot 10^{-6}$
3	$3,0 \cdot 10^{-6}$	$-2,32 \cdot 10^{-6}$	$21,5 \cdot 10^{-6}$

Построенная из коэффициентов влияния матрица податливостей оказалась несимметричной. Различие между ее компонентами  $\alpha_{ij}$  и  $\alpha_{ji}$  не превышает 20%.

На основе полученных статических коэффициентов влияния путем решения определятеля векового уравнения  $D$

$$D = \begin{vmatrix} m_1\alpha_{11}\omega^2 - 1 & m_2\alpha_{12}\omega^2 & m_4\alpha_{13}\omega^2 \\ m_1\alpha_{21}\omega^2 & m_2\alpha_{22}\omega^2 - 1 & m_3\alpha_{23}\omega^2 \\ m_1\alpha_{31}\omega^2 & m_2\alpha_{32}\omega^2 & m_3\alpha_{33}\omega^2 - 1 \end{vmatrix} = 0 \quad (1)$$

при  $m_1 = 4,05$  кг,  $m_2 = 2,74$  кг и  $m_3 = 11$  кг уточняли критические частоты ротора на жестких опорах:  $\omega_1 = 20,5 \cdot 10^2$  1/с ( $n_1 = 19500$  об/мин),  $\omega_2 = 32,5 \cdot 10^2$  1/с ( $n_2 = 31100$  об/мин).

### **Решение обратной задачи**

Определение допустимых значений эксцентрикитетов крыльчаток и диска производили в соответствии с подходами к решению множественных обратных задач, описанными в работе [5], суть которых в следующем.

Обозначим  $\Delta = \{\Delta_1, \Delta_2, \dots, \Delta_n\}$  – вектор, координатами которого являются произведения масс дисков и их остаточных эксцентрикитетов, т.е. дисбалансы, где  $n$  – количество дисков. Вектор  $\mathbf{Y} = \{y_1, y_2, \dots, y_n\}$  значений прогибов сечений вала ротора удовлетворяет уравнению

$$\mathbf{Y} = \omega^2 \mathbf{A} \mathbf{Y} + \omega^2 \mathbf{A}' \Delta,$$

где  $\mathbf{A}'$  – матрица податливостей  $\alpha_{ij}$ , определенная экспериментально;  $\mathbf{A}$  – матрица, составленная из произведений  $\alpha_{ij} M_j$  ( $M_j$  – масса  $j$ -го диска).

Отсюда получаем решение в виде

$$\mathbf{Y} = \omega^2 (\mathbf{E} - \omega^2 \mathbf{A})^{-1} \cdot \mathbf{A}' \Delta,$$

где  $\mathbf{E}$  – единичная матрица.

Выражения для реакций опор ротора имеют вид:

$$R_i = \sum_{j=1}^n b_{ij} (M_j y_j + \Delta_i) \omega^2, \quad i = 1, 2,$$

где  $b_{ij}$  – известные величины, выраженные через расстояния от плоскостей посадки дисков до плоскостей соответствующих опор.

Допустимые значения эксцентрикитетов крыльчаток и дисков можно найти, решив задачу векторной оптимизации, где критерии оптимальности имеют вид

$$\Delta_i \rightarrow \max, \quad i = 1, 2, 3,$$

а ограничениями для реакций опор служат неравенства

$$|R_i| < 300 \text{ Н}, \quad i = 1, 2.$$

Значения прогибов ограничены величиной 0,1 мм.

Очевидно, что базисная точка  $\Delta_0$  отвечает идеальному случаю, т.е. номинальным значениям дисбалансов  $\Delta_0 = \{0, 0, 0\}$ .

При построении областей допустимых дисбалансов, расширяющихся с этой точки в трехмерном пространстве, достаточно проверить ограничения лишь на частотах вращения, близких к критическим (16000 об/мин).

Решение обратной задачи показало, что для обеспечения непревышения значений реакций опор 300 Н необходимо, чтобы значения допустимых остаточных эксцентрикитетов в каждом сечении не превышали 0,8 мкм, т.е. допустимый дисбаланс не должен превышать 0,04 г·см при обычной точности балансировочных станков 5 г·см.

Выдержать такие значения эксцентрикитетов при существующем балансировочном оборудовании и технологии балансировки нерельсально, и к тому же возможна разбалансировка при эксплуатации. Поэтому было сделано заключение, что в данной конструкции агрегата поставленная задача о низкочастотной балансировке в двух плоскостях коррекции не имеет решений на практике и следует искать принципиально другой путь снижения виброактивности изделия.

По-видимому, ротор нельзя считать жестким, а значит и нельзя балансировать его на низких оборотах без учета гибкости ротора. Чтобы проверить это предположение, необходимо было провести динамические испытания ротора, которые значительно сложнее статических, но намного точнее и информативнее их.

### **Динамические испытания ротора ТНА**

Для проведения динамических испытаний ротора ТНА была создана разгонная исследовательская установка, которая позволила разо-

гнать ротор до 18000 об/мин. На вал ТНА-150 были установлены тензорезисторы, датчики перемещений и вибродатчики согласно схеме, представленной на рис. 3.

Исследовательская установка состояла из электродвигателя мощностью 11,5 кВт, мультипликатора с передаточным числом 1:12 и макетного ТНА-150 (рис. 4), представляющего собой турбоагрегат, на ротор которого, вместо штатных, установлены макетные диски и крыльчатки. Для учета массы лопаток увеличены диаметры макетных дисков. В дисках просверлены отверстия для крепления корректирующих масс в виде болтов соответствующей массы.

Вращающий момент от электродвигателя посредством втулочно-пальцевой муфты передавался мультипликатору, быстроходный вал которого соединялся с ротором ТНА шлицевой муфтой. Измерение частоты вращения производилось датчиком типа ДТЭ-1, который соединялся с указателем числа оборотов в минуту.

Тензорезисторы посредством ртутного токосъемника подключали к регистрирующей аппаратуре. Измерение сопротивления каждого из резисторов и сигналы от вибродатчиков после усиления их на СДМ-132 регистрировали цифровым осциллографом. Для регистрации частоты вращения использовали индуктивный датчик, установленный на кронштейне у головки токосъемника.

После разгона ротора до 18000 об/мин питание двигателя отключали, и ротор свободно вращался до полной остановки. Запись показаний тензометров и вибродатчиков велась во всем диапазоне частот вращения, начиная от 2000 об/мин при разгоне, а на некоторых режимах – при выдержке постоянной частоты и на выбеге.

Наличие экспериментально найденных значений прогибов позволило поставить и решить вторую обратную задачу – задачу параметрической идентификации эксцентрикитетов, а также упруго-инерционных характеристики ротора.

### **Решение обратной задачи**

Цель поставленной обратной задачи состояла в том, чтобы по измеренным в трех сечениях прогибам ротора идентифицировать величину и места расположения эксцентрикитетов (дисбалансов) каждой из масс для последующей установки компенсирующих их уравновешива-

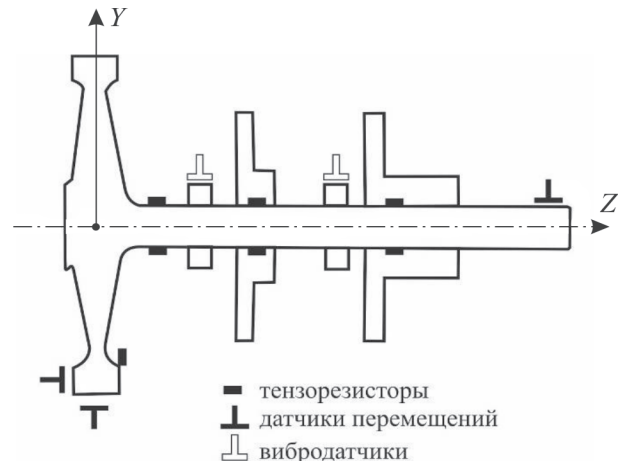


Рис. 3. Схема установки тензорезисторов и датчиков на вал ротора ТНА-150

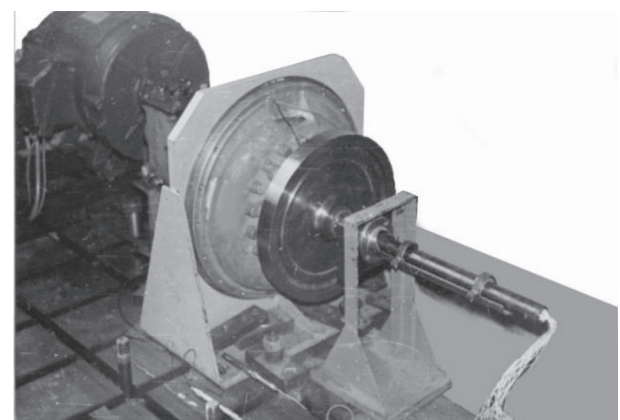


Рис. 4. Внешний вид макетного ТНА-150

вающих грузов. Но составленные уравнения для решения этой задачи позволили найти не только значения эксцентрикитетов, но и более точно, чем при статических испытаниях – значения жесткостей и рассчитать критические частоты ротора.

Для записи уравнений движения ротора были использованы интегро-дифференциальные зависимости теории изгиба балок, в результате чего для каждого из трех сечений ротора в проекциях на две взаимно перпендикулярные плоскости были записаны уравнения, связывающие неизвестные распределения жесткостей  $EJ$ , масс  $m$  и эксцентрикитетов  $e$  с прогибами у вала ротора [6]

$$\beta_0 K''_{zz}(Z, \omega_j) + 2\beta_1 K'(Z, \omega_j) + \beta_2 K(Z, \omega_j) - e_y \omega_j^2 = \omega_j^2 y; \quad (2)$$

$$\beta_i = \beta_i(Z) = \frac{1}{m} \cdot \frac{d^{(i)} EJ}{dZ^i}, \quad i = 0, 1, 2;$$

$$K(Z, \omega) = y'' / [1 + (y')^2]^{3/2},$$

где  $K$  – кривизна упругой линии ротора;  $Z$  – осевая координата сечения ротора, отсчитываемая вдоль оси вращения от т.  $O$  (см. рис. 3).

Воспользовавшись полученными значениями проекций прогибов вала ротора, измеренными на частотах вращения 14100, 15000, 15600, 16000 об/мин, и четырьмя первыми производными, составляли по две системы линейных алгебраических уравнений типа (2) для каждого из расчетных сечений 1, 2, 3, в которых идентифицировали эксцентрикитеты, жесткости и массы.

До решения систем уравнений (2) были вычислены числа обусловленности их матриц, значения которых оказались в пределах 3,2–6,7. Из этого следует, что возможная погрешность определения неизвестных могла составить до 134% при точности аппаратуры для измерения прогибов 15%. Для повышения точности расчетов был применен статистический метод обеспечения устойчивости математических моделей [7]. В данном случае измерения прогибов были повторены не менее 50 раз и найдены математические ожидания значений и фаз этих прогибов. Эти средние значения и были подставлены в уравнения (2), что позволило уменьшить возможную погрешность решения более чем в 7 раз. Получены такие результаты решения:

- для сечения 1:  $e_x = -5 \cdot 10^{-6}$  м;  $e_y = -5,84 \cdot 10^{-6}$  м;  $\beta_0 = 185,65 \text{ м}^3/\text{с}^2$ ;  $\beta_1 = -270,37 \text{ м}^2/\text{с}^2$ ;
- для сечения 2:  $e_x = -9 \cdot 10^{-6}$  м;  $e_y = 1,7 \cdot 10^{-6}$  мм;  $\beta_0 = 710,65 \text{ м}^3/\text{с}^2$ ;  $\beta_1 = -247,18 \text{ м}^2/\text{с}^2$ ;
- для сечения 3:  $e_x = -6,2 \cdot 10^{-6}$  м;  $e_y = 30 \cdot 10^{-6}$  м;  $\beta_0 = 280,83 \text{ м}^3/\text{с}^2$ ;  $\beta_1 = -680 \text{ м}^2/\text{с}^2$ .

Используя идентифицированные значения  $\beta_0$  и  $\beta_1$  для каждого из трех сечений, нашли значения приведенных масс  $m_i$  и жесткостей  $EJ_i$  ( $i = 1, 2, 3$ ) вала ротора в соответствии с формулами:

$$m(Z) = M \cdot \exp\left(\int_0^Z \frac{\beta_1}{\beta_0} dZ\right),$$

$$EJ(Z) = m(Z) \cdot \beta_0(Z),$$

где  $M$  – масса ротора.

Результаты решения такие:

$$EJ_1 = 414,7 \text{ Н}\cdot\text{м}^2; m_1 = 0,22 \cdot 10^{-2} \text{ кг}/\text{м};$$

$$EJ_2 = 1594 \text{ Н}\cdot\text{м}^2; m_2 = 0,2 \cdot 10^{-2} \text{ кг}/\text{м};$$

$$EJ_3 = 23998 \text{ Н}\cdot\text{м}^2; m_3 = 0,83 \cdot 10^{-2} \text{ кг}/\text{м}.$$

Используя формулы

$$D_i = M_i \sqrt{e_{xi}^2 + e_{yi}^2}, \quad \varphi_i = \arctg(e_{yi}^2 / e_{xi}^2), \quad i = 1, 2, 3,$$

определяли величины дисбалансов ротора и угла, составляемые ими с осью  $Ox$  выбранной системы координат:

$$D_1 = 23,7 \text{ г}\cdot\text{см}, D_2 = 2,48 \text{ г}\cdot\text{см}, D_3 = 30,6 \text{ г}\cdot\text{см}, \varphi_1 = 95^\circ, \varphi_2 = 170^\circ, \varphi_3 = 102^\circ 3'.$$

После этого компенсировали их.

### **Исследование динамики ТНА после балансировки на рабочих частотах**

После установки корректирующих масс в специальные места на дисках производился контрольный запуск на проход от 0 до 18000 об/мин с осциллографированием показаний тензорезисторов и вибродатчиков.

Зависимости прогибов от частот вращения в каждом из сечений 1, 2, 3 до и после балансировки ротора представлены на рис. 5. Из анализа кривых следует, что во всех сечениях до 8000 об/мин статические прогибы вала ротора почти не проявляются. Начиная с частоты вращения около 8100 об/мин, заметен рост этих прогибов. Они достигают своего максимального значения на частоте вращения около 16100 об/мин, затем – уменьшаются.

На рисунке 6 представлены вибрационные характеристики агрегата, построенные по показаниям преобразователей на опорах у привода и турбины. Здесь  $A$  – амплитуда колебаний, а  $2A$  – размах колебаний.

Как следует из графиков, характер колебаний опор различен: в районе  $n = 6800$  об/мин проявляется резонанс на опоре у турбины, а в районе  $n = 11700$  – опоры у привода.

Движение ротора агрегата в системе своих опор и присоединенных масс в диапазоне  $n = 2000$ –18000 об/мин обладает следующими особенностями.

В области  $n = 6300$  об/мин наблюдается первое повышение колебаний опор. При этом их колебания почти синфазны до резонанса. В перемещении ротора основную часть составляет его перемещение вместе с опорами, так что при этом прогиб вала ротора практически отсутствует.

При дальнейшем увеличении частоты вращения до  $n = 13700$  об/мин вновь наблюдаются

интенсивные колебания обеих опор, причем в этом случае они колеблются в противофазе, а прогиб вала ротора еще не достиг своего максимального значения.

И наконец, последний резонанс отмечен в области  $n = 16100$  об/мин. Здесь наблюдаются максимальные прогибы вала ротора, хотя вибрации опор снизились. Движение опор синфазно. На указанной частоте собственно и находится критическая частота вращения ротора.

Анализ полученных тензо- и виброграмм показал, что в местах резонансов имеют место и максимумы напряжений.

После 4000–5000 об/мин с ростом оборотов тензодатчики фиксируют на валу деформации (напряжения) не только с частотой первой роторной гармоники, но и с частотой второй роторной гармоники, что может быть вызвано, например, маятниковыми колебаниями цапфы вала в подшипнике, обратной прецессией, приводом и т.д.

Максимальные статические напряжения полученные при запуске и работе ТНА-150, до балансировки составили  $\sigma_{cm} = 64$  МПа на 16100 об/мин.

Соответственно, максимальные динамические напряжения были:

- по первой роторной гармонике  $\sigma_{dyn} = \pm 26,8$  МПа на 10800 об/мин;
- по второй роторной гармонике  $\sigma_{dyn} = \pm 34,8$  МПа на 15100 об/мин.

После проведенной балансировки максимальные статические напряжения составили  $\sigma_{cm} = 17,6$  МПа на 15300 об/мин, а динамические напряжения:

- по первой роторной гармонике  $\sigma_{dyn} = \pm 14,8$  МПа на 16200 об/мин;
- по второй роторной гармонике  $\sigma_{dyn} = \pm 10,8$  МПа на 14700 об/мин.

Анализ кривых, приведенных на рис. 5, 6, показывает, что в результате уравновешивания максимальные прогибы вала ротора в диапазоне 2000–18000 об/мин снижены примерно в 6 раз, амплитуды вибраций опор – в 4 раза, статические напряжения в материале вала – в 3,5 раза, а динамические – в 3 раза.

Далее был произведен расчет критических частот ротора по идентифицированным жесткостям и массам, приведенным к принятой динамической модели.

Для этого по известным значениям  $EJ$  для участков ротора с помощью интеграла Мора вычислили значения коэффициентов влияния, а затем из выражения (1) нашли критические

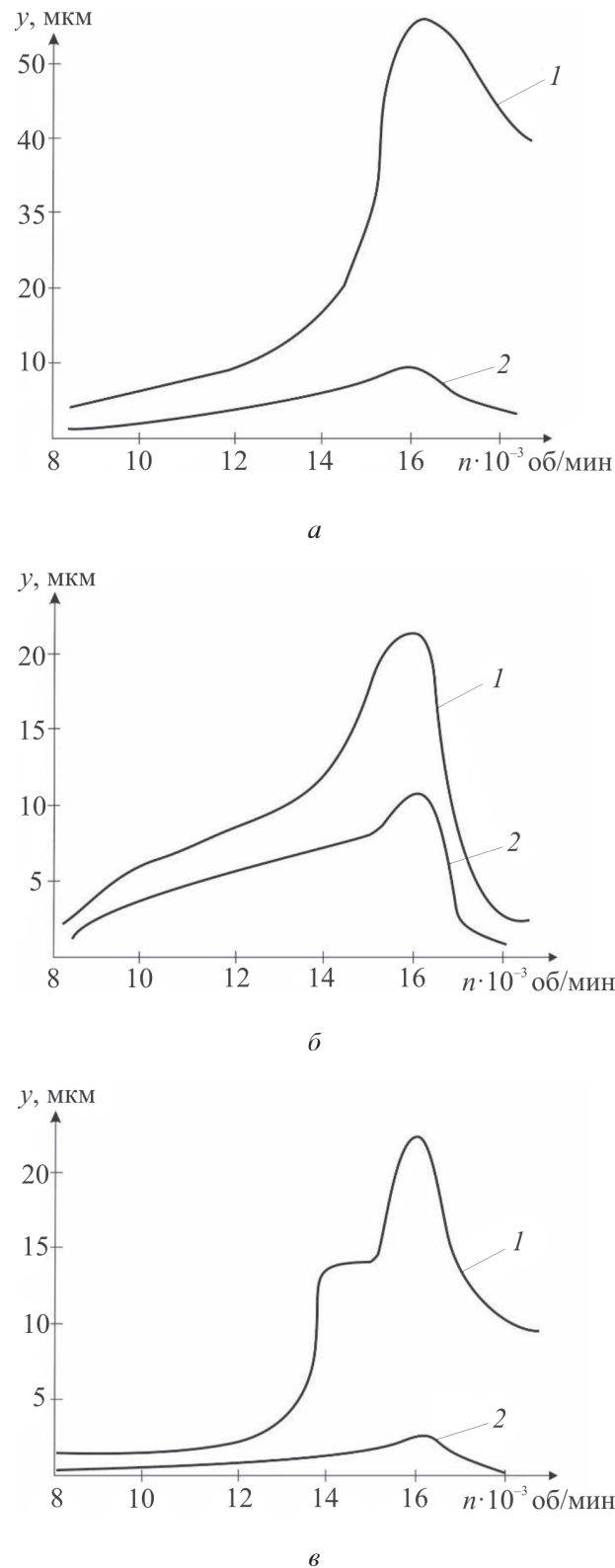
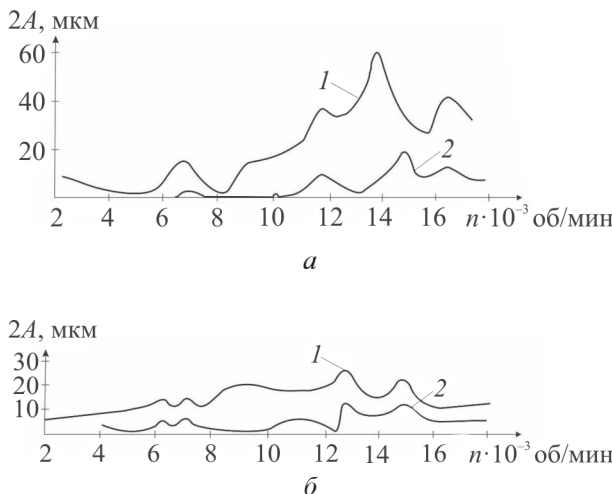


Рис. 5. Зависимость прогибов вала ротора ТНА-150 от частоты вращения в сечениях 1 (а), 2 (б), 3 (в):  
1 – до балансировки; 2 – после балансировки

частоты:  $\omega_1 = 1732$  1/c ( $n_1 = 16500$  об/мин) и  $\omega_2 = 2625$  1/c ( $n_2 = 25080$  об/мин).



**Рис. 6. Вибрационные характеристики ТНА-150 по показаниям преобразователей на опорах у привода (а) и у турбины (б):**  
1 – до балансировки; 2 – после балансировки

Разность между первой критической частотой вращения, рассчитанной по идентифицированным массам и жесткостям, и критической частотой ротора, измеренной при работе ТНА, составляет 400 об/мин. т.е. 2,49% от 16100 об/мин.

Разность же между действительной критической скоростью ротора и полученной в результате решения определителя векового уравнения, составленного на основе статических коэффициентов влияния, составляет 3400 об/мин., т.е. 21% от 16100 об/мин.

### Заключение

Исследована динамика турбонасосного агрегата ТНА-150, имеющего повышенные вибрации ротора. Продемонстрирована эффектив-

ность применения на практике постановки и решения обратных задач, позволяющих оценить критические числа оборотов вала, найти пути снижения вибраций.

### Список литературы

- Гуров А.Ф. Совместные колебания в газотурбинных двигателях. – «Оборонгиз», 1962 г. – 142 с.
- Гольдин А.С. Балансировка многоопорных валопроводов в условиях электростанций // Теория и практика уравновешивания машин и приборов / Под ред. В.А. Щепетильникова. 1970. С. 177–184.
- Горошко А.В. Стан проблеми забезпечення якісного проектування структурно-складних технічних виробів та технологічних процесів їх виготовлення / А.В. Горошко, В.П. Ройзман // Вісник Хмельницького національного університету. 2012. № 5. С. 59–68.
- Исаев Р.И., Ройзман В.П. Экспериментальное исследование жесткости роторов компрессоров двигателя АИ-20. Техническая справка №5186. ЦИАМ, 1961. Д.с.п.
- V. Royzman, A. Goroshko. Multiple inverse problem. – Journal Of Vibroengineering. September 2012. Vol. 14. Iss. 3. С. 1417–1424.
- Феодосьев В.И. Сопротивление материалов: Учеб. для вузов. 10-е издание, перераб. и доп. – М.: Изд-во МГТУ им. Н.Э. Баумана, 1999. – 592 с.
- Горошко А.В. Шляхи підвищення точності розв'язків зворотних задач / А.В. Горошко, В.П. Ройзман // Вісник Хмельницького національного університету. – 2013. № 6. – С. 60–69

Материал поступил в редакцию 15.01.14

**ГОРОШКО  
Андрей Владимирович**  
E-mail: iftomm@ukr.net  
Тел.: +380382728743

Кандидат технических наук, доцент кафедры физики и электротехники Хмельницкого национального университета (Украина). Сфера научных интересов: обратные задачи в механике, прикладная статистика, диагностика технического состояния. Автор 60 научных статей, трех изобретений.

**РОЙЗМАН  
Вилен Петрович**  
E-mail: royzman\_V@mail.ru  
Тел.: +380382728743

Доктор технических наук, профессор кафедры инженерной механики Хмельницкого национального университета (Украина). Сфера научных интересов: балансировка роторов, прочность в электронике, вибрационная прочность. Автор около 450 научных публикаций, трех монографий, 25 изобретений.